

## ОБ ЭЛЕКТРОПРОВОДНОСТИ ГАЗА ПРИ НАЛИЧИИ ВНЕШНЕГО ИОНИЗИРУЮЩЕГО ОБЛУЧЕНИЯ

А. А. Данцер, В. А. Феоктистов

(Москва)

Проведен численный расчет вольт-амперной характеристики газового промежутка, ионизированного внешним источником, в случае ион-ионной проводимости. Проведено сравнение полученных результатов с имеющимися приближенными аналитическими решениями. Обсуждается методика численного интегрирования системы уравнений.

В работах [1,2] рассматривалась вольт-амперная характеристика ионизированного внешнего источником газа как в пренебрежении, так и с учетом объемного заряда при произвольной геометрии электрического поля. В случае действия объемного заряда получение точного аналитического решения связано с большими математическими трудностями, и поэтому, очевидно, авторы ограничились рассмотрением двух предельных случаев: случая выполнимости закона Ома (напряжение  $V \rightarrow 0$ ), а также случая почти полного сбора ионов ( $V \rightarrow \infty$ ). На основе полученных решений в работе [2] приведена аппроксимационная формула для описания тока проводимости при произвольных напряжениях. Однако способ экстраполяции вольт-амперной характеристики на промежуточную область напряжений не является однозначным, и поэтому точность полученной в работе [2] аппроксимационной формулы требует дополнительного уточнения. В данной работе с использованием ЭВМ проведено численное решение соответствующей системы уравнений, позволяющее получить вольт-амперную характеристику для коэффициента сбора  $f$ , заключенного в интервале  $0.18 < f < 1$ . Как показано в работе [2], система дифференциальных уравнений, учитывающая действие объемного заряда, имеет один и тот же вид для любой системы электродов с равномерным распределением поверхностного заряда (в частности, для плоской, цилиндрической и сферической геометрии). Поэтому в данной работе для простоты расчет и обсуждение вычислительной процедуры будет проведен на примере плоской геометрии.

Исходная система уравнений, учитывающая рождение и рекомбинацию положительных и отрицательных ионов, в безразмерном виде записывается следующим образом:

$$\frac{\varepsilon}{dx} = -\frac{4\pi}{\varepsilon} (j - (1 + \mu) I), \quad \frac{dI}{dx} = 1 + \frac{\lambda}{\varepsilon^2} I (I - f) \quad (1)$$

$$\left( \varepsilon = \sqrt{\frac{K_+}{eqd^2}} E, \quad I = \frac{I_-}{eqd}, \quad j = \frac{J}{eqd}, \quad \lambda = \frac{\alpha}{eK_-}, \quad \mu = \frac{K_+}{K_-} \right)$$

Здесь  $\varepsilon$  — безразмерное электрическое поле,  $I$  — безразмерный ток отрицательных ионов,  $f$  — коэффициент сбора,  $\lambda$  и  $\mu$  — безразмерные параметры задачи,  $q$  — интенсивность образования ионов внешним источником,  $J$  — полный ток,  $\alpha$  — коэффициент рекомбинации ионов,  $x$  — безразмерная координата,  $0 \leq x \leq 1$  ( $x = 0$  — катод),  $K_+$  и  $K_-$  — подвижность положительных и отрицательных ионов соответственно.

Система (1) решается при следующих граничных условиях:

$$I(0) = 0, \quad I(1) = f \quad (2)$$

Система (1) совместно с граничными условиями (2) представляет собой краевую задачу для системы обыкновенных дифференциальных уравнений. Поскольку граничные условия заданы в двух точках, то при численном интегрировании системы в начальной точке  $x = 0$  приходится задавать недостающее граничное условие для функции  $\varepsilon(x)$ . При каждом пробном значении  $\varepsilon(0)$  система решается, например, методом Рунге — Кутты, и полученное значение функции  $I(x)$  на другом конце отрезка сравнивается с заданным граничным условием. Процесс повторяется до тех пор, пока не выполнится условие  $|I(1) - f| < \delta f$ , где  $\delta$  — заранее заданное малое число.

В рассматриваемом случае подобный метод пристрелок требует большого количества машинного времени. Это обусловлено тем, что решение очень чувствительно к малым изменениям величины  $\varepsilon(0)$ , и поэтому поиск величины  $\varepsilon(0)$  должен производиться с достаточно высокой степенью точности. В противном случае решение уходит в область, не соответствующую физическому содержанию задачи. Значительное упрощение достигается путем сведения двухточечной краевой задачи (1), (2) к задаче Коши. Этот метод с успехом применяется при численном решении различных задач гидродинамики [3].

Чтобы преобразовать систему (1), (2) к начальной задаче, введем однопараметрическое преобразование вида

$$\varepsilon = A^{\alpha_1} \varepsilon_1, \quad x = A^{\alpha_3} x_1, \quad I = A^{\alpha_2} I_1, \quad f = A^{\alpha_2} f_1 \quad (3)$$

где  $A$  — параметр преобразования,  $\alpha_1, \alpha_2, \alpha_3$  — постоянные, которые должны быть определены. Система (1) в новых переменных принимает вид

$$\begin{aligned} A^{\alpha_1 - \alpha_3} \frac{d\varepsilon_1}{dx_1} &= -A^{\alpha_2 - \alpha_1} \frac{4\pi}{\varepsilon_1} [f_1 - (1 + \mu) I_1] \\ A^{\alpha_2 - \alpha_3} \frac{dI_1}{dx_1} &= 1 - A^{2(\alpha_2 - \alpha_1)} \frac{\lambda}{\varepsilon_1^2} I_1 (f_1 - I_1) \end{aligned} \quad (4)$$

Требование инвариантности системы (1) относительно данной группы преобразований приводит к следующим равенствам для  $\alpha_1, \alpha_2$  и  $\alpha_3$

$$\alpha_1 - \alpha_3 = \alpha_2 - \alpha_1, \quad \alpha_2 - \alpha_3 = 0, \quad 2(\alpha_2 - \alpha_1) = 0$$

Отсюда следует, что  $\alpha_1 = \alpha_2 = \alpha_3$ . Тогда система (1) принимает вид

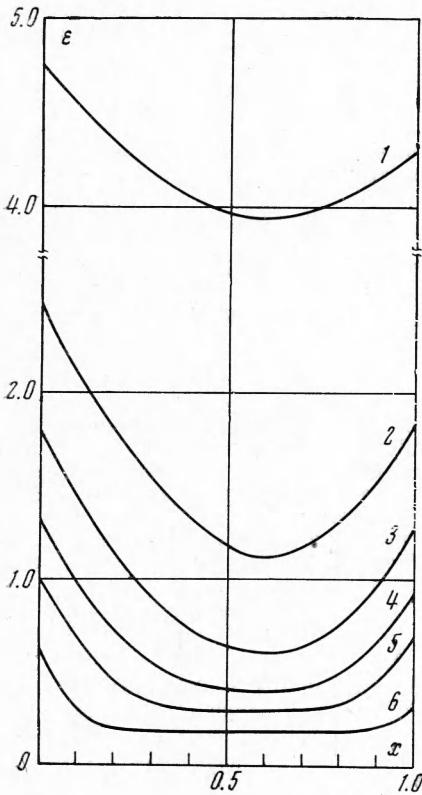
$$\frac{d\varepsilon_1}{dx_1} = -\frac{4\pi}{\varepsilon_1} [f_1 - (1 + \mu) I_1], \quad \frac{dI_1}{dx_1} = 1 - \frac{\lambda I_1}{\varepsilon_1^2} (f_1 - I_1) \quad \text{при } x_1 = 0, \quad I_1(0) = 0 \quad (5)$$

Чтобы получить недостающее условие, положим, например,  $\varepsilon(0) = A$ . Тогда  $A^{\alpha_1} \varepsilon_1(0) = A$ . Это граничное условие не зависит от  $\alpha_1$  и  $A$ , если  $\alpha_1 = 1$ . Окончательно граничные условия для системы (5) записываются так:

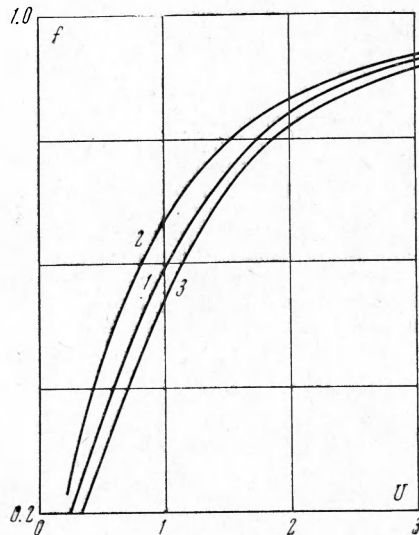
$$I_1(0) = 0, \quad \varepsilon_1(0) = 1 \quad (6)$$

Таким образом, система (5) совместно с условиями (6) является эквивалентной задачей Коши. Значение параметра  $A$  можно найти из граничного условия на другом конце отрезка, которое в новых переменных имеет вид

$$I_1(x_1 = A^{-1}) = f_1 \quad (7)$$



Фиг. 1



Фиг. 2

Путем численного решения задачи Коши (5), (6) (при фиксированном  $f_1$ ) с учетом условия (7) определяется параметр  $A$ . Зная  $A$ , с помощью соотношений (3) находим решение исходной задачи для

$$f = Af_1 \quad (8)$$

Изменяя  $f_1$ , можно в принципе получить решение для любого  $f$ . Другими словами, сведение исходной задачи к задаче Коши в рассматриваемом случае оправдано тогда, когда необходимо получить решение для коэффициента  $f$ , изменяющегося в некотором диапазоне. Таким образом, если в методе пристрелок получение решения для каждого фиксированного значения коэффициента  $f$  связано с расчетом большого количества пробных вариантов, то теперь каждый вариант дает решение исходной задачи для  $f$ , определяемого равенством (8).

Анализ системы (5) показывает, что не при всяком  $f_1$  может быть найдено решение, удовлетворяющее условию (7). Существует некоторое граничное значение  $f_1^*$  такое, что при  $f_1 > f_1^*$  решение задачи Коши, удовлетворяющее условию (7), отсутствует.

С другой стороны, при приближении к  $f_1^*$  со стороны меньших значений по  $f_1$  можно получить решение для сколь угодно малых значений коэффициента  $f$ . Однако при этом параметр  $f_1$  надо задавать с достаточно высокой точностью. В частности, чтобы получить решение исходной задачи для  $f \approx 0.3$ , необходимо параметр  $f_1$  задать с точностью до седьмого знака. Подобная вычислительная процедура может быть реализована, например, на машине «Минск-22», с использованием стандартной программы Рунге—Кутта. В случае необходимости получения численного решения для  $f < 0.3$  можно перейти к алгоритму Рунге—Кутта с удвоенной точностью (применительно к машине «Минск-22» это дает возможность работать с числами, имеющими 16 значащих цифр).

Результаты численного интегрирования системы (1) показаны на фиг. 1 и 2. На фиг. 1 приведены кривые изменения электрического поля в зависимости от координаты при различных значениях коэффициента сбора  $f$  ( $\mu = 0.65$ ,  $\lambda = 4.33$ ). Кривым 1—6 соответствуют следующие значения  $f = 0.952, 0.750, 0.550, 0.405, 0.303, 0.181$ . Отсюда видно, что, например, при  $f = 0.181$  кривая может быть аппроксимирована ломаной линией, изменяющейся по линейному закону вблизи электродов. Если проинтегрировать функции  $\epsilon(x)$  при различных  $f$ , то можно получить вольт-амперную характеристику в виде зависимости коэффициента сбора от безразмерного напряжения

$$U = \frac{V}{a^2} \sqrt{K_+ / eq}$$

На фиг. 2 показана расчетная вольт-амперная характеристика (кривая 1) и для сравнения приведены вольт-амперные характеристики, полученные по формуле Боуга [4] (кривая 2)

$$|f = 2[1 + (1 + 2\lambda / 3U^2)^{1/2}]^{-1} \quad (9)$$

а также по аппроксимационной формуле работы [2] (кривая 3), имеющей, очевидно, вид

$$|f = \frac{U^2}{2\lambda B} [-1 + \sqrt{1 + 4\lambda B U^{-2}}] \quad \left( B = \left( \frac{\mu}{(1 + \mu)^2} + \frac{U^2}{\lambda} \right) \left( 1 + \frac{6U^2}{\lambda} \right)^{-1} \right) \quad (10)$$

(имея в виду опечатку в формуле (24) работы [2]). Из фиг. 2 видно, что по крайней мере при  $\mu = 0.65$ ,  $\lambda = 4.33$  вольт-амперная характеристика Боуга (9) проходит выше расчетной кривой, при этом максимальное относительное отклонение (по отношению к расчетной кривой) для интервала  $0.181 < f < 1$  составляет  $\sim 30\%$ . В противоположность этому формула (10) дает заниженный результат, однако она несколько лучше повторяет форму расчетной кривой в указанном диапазоне для  $f$  (максимальное отклонение по отношению к расчетной кривой  $\sim 24\%$ ).

В случае электрон-ионной проводимости численное интегрирование с использованием программы с удвоенной точностью практически не дает возможности получить решение для величины  $f$ , заметно отличающейся от единицы.

Поступила 26 IV 1972

#### ЛИТЕРАТУРА

1. П о л и к а н о в В. С. Вольт-амперная характеристика ионизированного газа при произвольной геометрии электрического поля. Ж. техн. физ., 1968, т. 33, вып. 12.
2. В о л ь ф Е. М., П о л и к а н о в В. С. К теории электропроводности ионизированного внешним источником газа. Ж. техн. физ., 1969, т. 39, вып. 1.
3. N a t Y. An initial value method for the solution of a class of nonlinear equations in fluid mechanics. Trans. ASME, Ser. D, J. Basic Engng., 1970, vol. 92, No. 3. (Рус. перев.: Метод преобразования краевой задачи к задаче Коши для некоторого класса нелинейных уравнений гидродинамики. Тр. Америк. о-ва инж.-механ., Сер. Д, Теор. основы инж. расчетов, 1970, т. 92, № 3, стр. 99—105).
4. В o g I. W., W i l s o n T. The saturation curve at high ionization intensity, Brit. J. Appl. Phys., 1952, vol. 3, p. 222.